Frustração de Arestas em (3,6)-Fullerenes

Diego S. Nicodemos¹, Sulamita Klein², Luerbio Faria³

¹Colégio Pedro II / COPPE – Sistemas, Universidade Federal do Rio de Janeiro (UFRJ) Rio de Janeiro – RJ – Brasil

> ²COPPE–Sistemas, Universidade Federal do Rio de Janeiro (UFRJ) Rio de Janeiro – RJ – Brasil

³Departamento de Matemática – Universidade do Estado do Rio de Janeiro (Uerj) Rio de Janeiro – RJ – Brasil

nicodemos@cos.ufrj.br, sula@cos.ufrj.br, luerbio@cos.ufrj.br

Resumo. Grafos (3,6)-fullerenes são grafos planares, 3-conexos, cúbicos cujas faces têm tamanho 3 ou 6. Determinar o menor número de arestas a serem deletadas de um grafo de modo a obter um subgrafo gerador bipartido é conhecido na literatura [Došlić and Vukičević 2007] como o Problema de Frustração de Arestas. Neste trabalho, abordamos o Problemas da Frustração de Arestas em grafos (3,6)-fullerenes. Mostramos que todo grafo (3,6)-fullerene com n vértices torna-se bipartido após a retirada de no máximo $\sqrt{\frac{4}{3}n}$ arestas.

Abstract. A (3,6)-fullerene graph is a cubic bridgeless plane graph with all faces of size 3 or 6. Determining the smallest number of edges that have to be deleted from the graph to obtain a bipartite spanning subgraph is known in the literature [Došlić and Vukičević 2007] as the Bipartite Edge Frustration Problem. In this paper, we investigate the Bipartite Edge Frustration Problem in (3,6)-fullerene graphs. We show that every graph (3,6)-fullerene on n vertices becomes bipartite after deleting at most $\sqrt{\frac{4}{3}n}$ edges.

1. Introdução

Segundo Došlić e Vukičević [Došlić and Vukičević 2007] uma aresta $e \in E$ é dita frustrada com respeito à bipartição (V_1,V_2) de V se ambas as extremidades de e pertencem a mesma classe da bipartição. O menor número de arestas a serem deletadas de um grafo de modo a obter um subgrafo gerador bipartido é conhecido na literatura como o Problema da Frustração de Arestas e é representado pelo parâmetro τ_{odd} .

Um grafo (3,6)-fullerene é um grafo planar, cúbico, 3-conexo cujas faces têm tamanho 3 ou 6. Pela Relação de Euler sabe-se que todo $\operatorname{grafo}(3,6)$ -fullerene possui exatamente 4 faces triangulares (faces de tamanho 3). O resultado central deste trabalho fornece uma cota superior para o Problema da Frustração de Arestas em grafos (3,6)-fullerenes e estende o resultado similar obtido para grafos fullerenes.

Teorema 1.1 Se
$$G$$
 é um grafo $(3,6)$ -fullerene com n vértices, então $\tau_{odd}(G) \leq \sqrt{\frac{4}{3}n}$.

O restante do artigo está dividido da seguinte maneira. Na seção 2, discutimos conceitos específicos para a abordagem do Problema da Frustração de Arestas e introduzimos a ideia de remendos e fossos. Na seção 3, provamos o Teorema 1.1.

2. Preliminares

As definições usadas neste trabalho são definições padrões. Para maiores detalhes o leitor é convidado a consultar [Bondy and Murty 2008].

O grafo dual de um (3,6)-fullerene é uma triangulação planar sem loops ou arestas múltiplas e todos os seus vértices têm graus 3 ou 6. No dual de um (3,6)-fullerene os vértices de grau 3 são também chamados de vértices defeituosos.

Por toda esta seção, G é uma triangulação planar com todos os vértices de grau menor que G. Sejam um grafo G e um conjunto de vértices $T\subseteq V(G)$ tal que |T| é par. Uma T-junção de G é um subconjunto $J\subseteq E(G)$ tal que T é o conjunto dos vértices de grau ímpar em G[J]. Observe que se T é o conjunto dos vértices de grau ímpar de G e G é uma G-junção de G então G0 então G1 e par (pois o número de vértices de grau ímpar em um grafo é sempre par) e cada vértice de G1 tem grau par (pois retiramos de G2 uma quantidade ímpar de arestas referentes aos vértices de grau ímpar e uma quantidade par de arestas referentes aos vértices de grau par). O tamanho da menor G1 e denotado por G2.

Seja $\delta_G(X)$ o conjunto de arestas em um grafo G com exatamente um vértice em $X\subseteq V(G)$. Um conjunto G de arestas de G é um G de aresta de G se G e G e G e G o conjunto dos vértices de grau ímpar de G. Um G-corte é um corte de aresta G-corte G-corte

Um empacotamento de T-cortes de G é uma coleção disjunta $\delta(\mathcal{F})=\{\delta(X)\mid X\in\mathcal{F}\}$ de T-cortes de G. Se T é o conjunto dos vértices de grau ímpar de G, então denotaremos por $\nu(G,T)$ o tamanho do maior empacotamento de T-cortes de G. Uma inclusão sábia minimal é um conjunto dentre uma coleção de conjuntos que não contém qualquer outro conjunto da coleção. Dado um empacotamento de T-cortes, um T-corte do empacotamento de T-cortes. Uma família \mathcal{F} é dita laminar se para cada par $X,Y\in\mathcal{F}$, tem-se $X\subseteq Y,Y\subseteq X$, ou $X\cap Y=\emptyset$.

Seja G^* o dual de um (3,6)-fullerene. O grafo G^* não é bipartido, pois suas faces são todas triangulares. O grafo $G^{*'}$ obtido subdividindo as arestas de G^* é bipartido, pois todas as suas faces têm tamanho 6. Considere o grafo $G^{*\Delta}$ obtido, a partir de $G^{*'}$, adicionando três novas arestas dentro de cada face de $G^{*'}$, incidentes a cada um dos 3 vértices de grau 2. Chamamos $G^{*\Delta}$ de *refinamento* de G^* . Todos os vértices em $V(G^{*\Delta}) - V(G^*)$ têm grau 6 em $G^{*\Delta}$, portanto se D é o conjunto dos vértices defeituosos de G^* , então D é também o conjunto dos vértices defeituosos de $G^{*\Delta}$.

O Lema 2.1 foi provado por Klein, Faria e Stehlik [Klein et al. 2012].

Lema 2.1 Para toda triangulação planar G e todo subconjunto $T \subseteq V(G)$ tal que |T| é par, $\tau(G,T)=\frac{1}{2}\nu(G^{\triangle},T)$. Além disso, existe um empacotamento de T-cortes em G^{\triangle} que é laminar, ótimo formado por inclusões sábias minimais.

Sejam $X \subset V(G)$ e G[X] um subgrafo, 2-conexo, de G tal que todas as faces de G[X], exceto a face exterior, são triângulos. Um fosso de largura k em G ao redor do remendo G[X] é um subconjunto de E(G) definido como:

$$\delta_G^k(X) = \bigcup_{i=0}^{k-1} \delta_G(N^i[X]).$$

Em particular, $\delta_G^1(X) = \delta_G(X)$. Se $\sum_{v \in X} (6 - d(v)) = d$, então $\delta_G^k(X)$ é um *d-fosso* de largura k, como mostra a Figura 1.

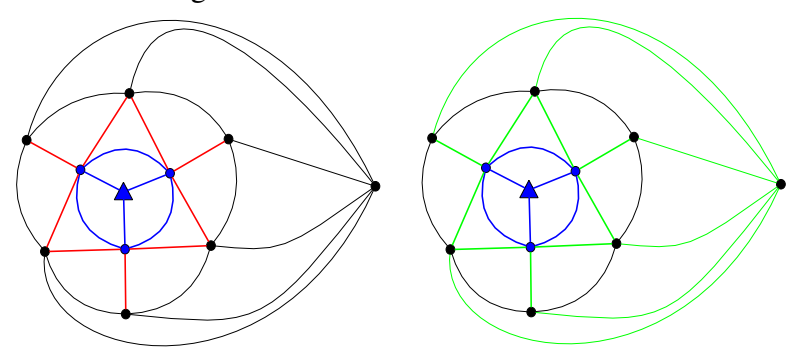


Figura 1. Nas duas figuras os subgrafos azuis representam remendos G[X]. As arestas de vermelho indicam um fosso de largura 1 e as arestas de verde um fosso de largura 2. Ambos são 3-fossos.

Se G^* é o dual de um (3,6)-fullerene, então os possíveis tipos de fossos de G^* são os 3-fossos, os 6-fossos, os 9-fossos e os 12-fossos.

Para todo fosso $\delta_G^k(X)$ corresponde um conjunto $|\delta_G^k(X)|$ de faces triangulares. Dizemos que as faces incidentes a pelo menos uma aresta de $\delta_G^k(X)$ são geradas pelo fosso $\delta_G^k(X)$. Se G é um (3,6)-fullerene, então o número de arestas em um 3-fosso de G^* é facilmente determinado.

Lema 2.2 Sejam G um grafo (3,6)-fullerene, G^* o dual de G e D o conjunto dos vértices defeituosos de G^* . Se $d_{G^*}(u)=3$, e nenhuma aresta de $\delta^{k-1}(u)$ é incidente a vértices do conjunto $D-\{u\}$, então $\left|\delta_{G^*}^k(u)\right|=3k^2$.

 $\begin{array}{c} \textit{Demonstração}. \ \ \text{Observe que em cada camada do 3-fosso de } G^* \ \text{a quantidade de arestas \'e dada pela sequência } (3,3+6,3+6\cdot2,3+6\cdot3,...,3+6\cdot(k-1)). \ \ \text{Portanto,} \\ \left|\delta^k(u)\right| = \sum_{i=0}^{k-1} |\delta(N^i[u])| = 3k+6(1+2+3+...+k-1) = 3k^2. \end{array}$

3. Resultados Centrais

O problema da frustração de arestas para os grafos (3,6)-fullerene será resolvido através de sua versão dual, ou seja, determinaremos o menor número de arestas a serem deletadas de um grafo G de modo que o grafo remanescente não possua vértices de grau ímpar. Este parâmetro é denotado por $\tau(G)$. Já discutimos que quando G é um grafo (3,6)-fullerene o seu correspondente dual G^* é uma triangulação planar cujos vértices têm graus 3 ou 6 e existe pelo Lema 2.1, um empacotamento de T-cortes em $G^{*\Delta}$ que é laminar, ótimo, consistindo apenas de inclusões sábias minimais. Chamamos um tal empacotamento de um *empacotamento de fossos de T-cortes* que, neste caso, é composto apenas de 3-fossos de G^* .

Teorema 3.1 Seja G^* o grafo dual de um (3,6)-fullerene. Se f é o número de faces de G^* e T é o conjunto dos vértices de grau ímpar de G^* , então $\tau(G^*,T) \leq \sqrt{\frac{4f}{3}}$.

Demonstração. Seja $G^{*\triangle}$ o refinamento de G^* . Assim $G^{*\triangle}$ é uma triangulação planar com 4f faces e todos os vértices de graus 3 ou 6. Pelo Lema 2.1, existe um empacotamento de fossos $\delta_{G^{*\triangle}}(\mathcal{F})$. Seja m_3 o número de arestas em um 3-moat de $\delta_{G^{*\triangle}}(\mathcal{F})$. Definimos o vetor de incidência $\vec{r} \in \mathbb{R}^4$ da seguinte maneira: para cada $u \in T$, seja r_u a largura do 3-fosso centrado em u.

Definimos o produto interno $\langle \cdot, \cdot \rangle$ em \mathbb{R}^4 por $\langle \vec{a}, \vec{b} \rangle = \sum_{u \in T} a_u b_u$. Também definimos a norma $\| \cdot \|$ por $\| \vec{a} \| = \langle \vec{a}, \vec{a} \rangle$.

Pela otimalidade de $\delta_{G^{*\Delta}}(\mathcal{F})$,

$$\tau(G^*, T) = \frac{1}{2}\nu(G^{*\Delta}, T) = \frac{1}{2}\langle \vec{r}, \vec{1} \rangle, \text{ sendo } \vec{1} = (1, 1, 1, 1).$$
(1)

Suponha que $\delta^{r_u}_{G^*\vartriangle}(u)$ é um 3-fosso de $\delta_{G^*\vartriangle}(\mathcal{F})$, para algum $u\in P$. Lembre-se que pelo Lema 2.2, $|\delta^{r_u}_{G^*\vartriangle}(u)|=3r_u^2$, logo somando sobre todos os 3-fossos,

$$m_3 = 3\sum_{u \in T} r_u^2 = 3\|\vec{r}\|^2.$$
 (2)

O grafo $G^{*\Delta}$ tem 4f triângulos, e os 3-fossos geram m_3 triângulos de $G^{*\Delta}$. Estes triângulos são mutuamente disjuntos.

Usando (2), temos: $4f \ge m_3 \ge 3 \|\vec{r}\|^2$.

Consequentemente temos,

$$\sqrt{\frac{4f}{3}} \ge \|\vec{r}\| \,. \tag{3}$$

Portanto, por (1), (3) e pela desigualdade de Cauchy-Schwarz, segue que:

$$\tau(G^*,T) = \tfrac{1}{2} \left< \vec{r},1 \right> \le \tfrac{1}{2} \left\| \vec{r} \right\| \left\| 1 \right\| = \left\| \vec{r} \right\|.$$

Concluímos que
$$\tau(G^*, T) \leq \sqrt{\frac{4f}{3}}$$
.

Aplicando o Teorema 3.1 ao grafo dual, obtemos a prova do Teorema 1.1.

4. References

Referências

[Bondy and Murty 2008] Bondy, J. A. and Murty, U. S. R. (2008). *Graph theory*. Macmillan/Elsevier, Canada.

[Došlić and Vukičević 2007] Došlić, T. and Vukičević, D. (2007). Computing the bipartite edge frustration of fullerene graphs. *Discrete Applied Mathematics*, 155(10):1294–1301.

[Klein et al. 2012] Klein, S., Faria, L., and Stehlík, M. (2012). Odd cycle transversals and independent sets in fullerene graphs. *SIAM Journal of Discrete Mathematic*, 48(3):1458–469.